

H27/12/3	8:45 - 10:15 (90分)	問題3枚, 解答5枚	友野 和哲	A5用紙・電卓・紙辞書
----------	--------------------	------------	-------	-------------

* 計算問題は途中式が記載できるものは記載すること。途中式がないものは減点とする。

- 次の単語を訳しなさい。略称は正式名称(English or Japanese)を答えなさい。
 (1) 機器分析 (2) resonant frequency (3) 電気陰性度 (4) NMR (5) X線吸収スペクトル
- 空欄 (a)-(j) を埋めなさい。尚, a-e は数字です。

Q1.

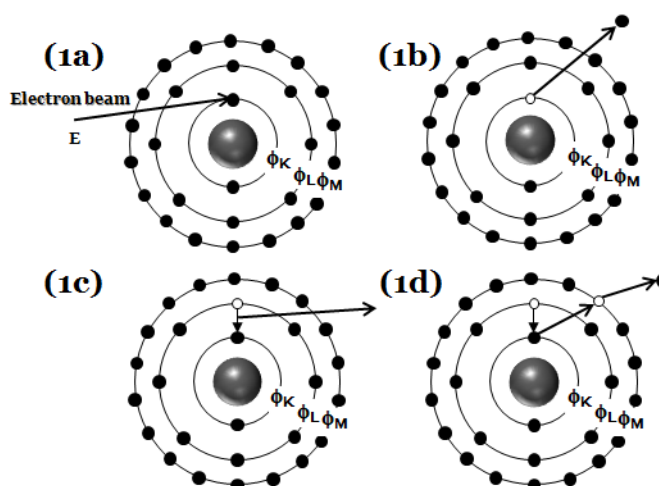
For example, ^{16}O has atomic weight **[a]** and atomic number **[b]**. Hence it has **[b]** protons (atomic number = **[b]**) and **[c]** neutrons. Since the mass and the number of protons are both even numbers, the result predicts that the net spin quantum number of ^{16}C is zero, denoting no spin. On the other hand, for ^{17}O , the atomic weight is **[d]**, an odd numbers and the neutron number is **[e]**, an odd number. So, NMR can detect ^{17}O , and although ^{17}O represents only 0.038 % of the total Oxygen present in an organic molecule.

Q2.

The atom is shown in Fig. 1a, with Φ_K , Φ_L , and Φ_M representing the energy of the K, L, and M shells, respectively. For example, a carbon atom contains filled K shell and **[f]** electrons in the L shell.

When a fast-moving electron (; electron beam) or an X-ray collides with an atom, its energy may be absorbed by the atom. If the electron or X-ray has sufficient energy, it knocks an **[g]** out of one of the atom's inner shell (e.g. the K shell) and the atom becomes ionized as shown in Fig. 1b. An **[g]** from a higher-energy shell (e.g. the L shell) then falls into the position vacated by the dislodged inner electron and an **[h]** is emitted as the electron drops from one energy level to the other (Fig. 1c). The wavelength of this emitted **[h]** is characteristic of the element being bombarded.

A forth process can also occur, as shown in Fig. 1d. Instead of emitting an X-ray, the energy related knocks an electron out of the **[i]** shell. This electron is called an **[j]** electron. This **[j]** process is the basis for a sensitive surface analysis technique.



* Fig ; figure abbreviation * Collide ; 衝突する * emit : 放射する * shell : 殻

- Derive the Bragg equation using reflection from two parallel planes as the model.

4. 蛍光 X 線の測定原理(例えば, K 吸収端と K 線の関係)を踏まえ, Ni 中の Fe と Cr 中の Fe の濃度に関するマトリックス効果の“正”と“負”の誤差が生じる理由について説明しなさい。

Elements	K 吸収端(keV)	蛍光 X 線 K α (KeV)
Cr	5.9890	5.41
Fe	7.1107	6.40
Ni	8.3315	7.47

*どちら(Fe in Ni と Fe in Cr)が正 or 負の誤差が生じるかを含めて説明しなさい。

5. (ア) (a) フェリシアン化カリウム; $K_3[Fe(CN)_6]$, (b)フェロシアン化カリウム 3 水和物; $K_4[Fe(CN)_6] \cdot 3H_2O$ のうち, ESR 測定が可能な錯体名を答え, 測定ができる錯体とできない錯体の理由を d 軌道の電子配置から説明しなさい。

(イ) 上記の鉄シアノ錯体の XANES スペクトル(教科書 P129 図 5-38 からの抜粋)を右図に示した。

この鉄シアノ錯体の鉄イオンの K 吸収端付近には, $1s \rightarrow 3d$ 電子遷移に基づくピーク(A, A_1 , A_2)が観察される。(a)はピークが 2 個, (b)はピークが 1 個, 検出される理由を答えなさい。

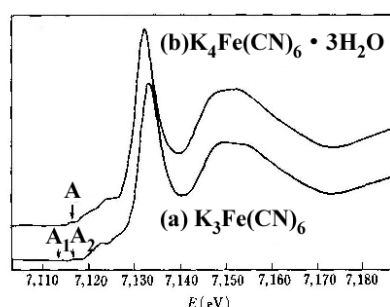


図 5-38 鉄シアノ錯体の XANES スペクトル
(N. Kosugi, T. Yokoyama and H. Kuroda, *Chem. Phys.*, **104**, 449(1986) より)

(ウ) フェロシアン化カリウム 3 水和物の CN 配位子を OH 配位子に変更(例, 水酸化鉄: $[Fe(OH)_4]^{2-}$)した場合は, XANES スペクトル(A のピーク)はどのような変化をすると予想されるか簡単に答えなさい。*ただし, 鉄の価数は変化しないものとする。

19	20	21	22	23	24	25	26	27	28	29	30	31	32	33	34	35	36
K	Ca	Sc	Ti	V	Cr	Mn	Fe	Co	Ni	Cu	Zn	Ga	Ge	As	Se	Br	Kr

6. 核スピンのエネルギー差(ΔE)の式では, 外部磁場と共鳴周波数は比例関係である。しかし, NMR の横軸の呼び方が反対(低周波数側を高磁場側, 高周波数側を低磁場側)になる。横軸の名称が周波数と磁場で逆になる理由を説明しなさい。

7. NMR について, 以下の Q1 と Q2 について答えなさい。

Q1. イソバレルアルデヒド (; $(CH_3)_2CHCH_2CHO$) の 1H -NMR の測定結果から, 9.7ppm, 5.0ppm, 2.2ppm, 0.9ppm にピークを検出した。(*5.0ppm は実際には 2.3ppm です。)

イ) ピーク分裂及び積分比を示しなさい。

ロ) 9.7ppm の低磁場シフトの理由を, 図と式を用いて説明しなさい。

Q2. 次ページには, 炭素(C; carbon), 水素(H; Hydrogen), 酸素(O; Oxygen)で構成される分子量(; molecular weight) 88 の化合物の FTIR, 1H -NMR, ^{13}C -NMR を示した。構造解析をせよ。

